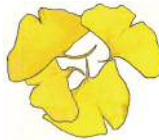


# 高性能有機エレクトロニクスに向けた有機半導体開発



技術解説

安蘇芳雄\*、家裕隆\*\*

Development of Organic Semiconductors for  
High Performance Organic ElectronicsKey Words : Field-effect transistor, Photovoltaics, Solar cells,  
n-Type semiconductor, Carrier mobility

## 1. はじめに

$\pi$ 電子共役化合物からなる有機半導体を薄膜活性層とする電界効果トランジスタ（OFET）、光電変換素子（OPV、有機太陽電池）、発光ダイオード（OLED、有機EL）などの有機エレクトロニクスは、薄型、軽量、フレキシブルなどの特徴から、また、溶液からの各種塗布プロセスを利用すれば低成本化や大面積化が可能となるため、次世代のエレクトロニクスとして期待されている。実際に、一部の有機ELや有機太陽電池は既に実用化されている。

言うまでもなく、これらの素子では有機薄膜内を電荷キャリアが移動することで機能する。その際、構成有機分子では酸化と還元が繰り返されるので安定な酸化還元系である必要がある。これを担うのが分子の最高被占軌道（HOMO）と最低空軌道（LUMO）であり、HOMOとLUMOレベルの間に電子が存在

できる準位は無いので真性半導体である。無機系半導体と異なり、有機半導体では注入される電荷キャリアによってp型（HOMO上の正孔伝導）となるかn型（LUMO上の電子伝導）となるかが決まる。従って、望みの型で機能させるためには分子の設計によるHOMOとLUMOのエネルギーレベルの調節が重要となる。本稿では、我々の、電子を輸送する高性能なn型OFET材料の開発と、そこで開発された電子受容性（アクセプター）ユニットをOPV材料に展開した研究の概要を、分子設計の考え方を中心に紹介する。

図1(a)にはOFETの素子構造の模式図を示した。電極や絶縁体（誘電体）層と有機半導体の位置関係によって多くのバリエーションがあるが、我々が一般的に評価に使用しているボトムゲート・ボトムコンタクト型とボトムゲート・トップコンタクト型の素子構造を示してある。ゲート電極を印加すると電圧( $V_{GS}$ )に応じて有機半導体の絶縁体層界面に電荷が蓄積されてチャンネルを形成し、ソースドレイン間の印加( $V_{DS}$ )によって電流( $I_{DS}$ )が流れる。正の $V_{GS}$ でLUMOに電子が注入されてn型として動作し、負の $V_{GS}$ でHOMOに正孔が蓄積されてp型として動作する。一定のドレン電圧 $V_{DS}$ （出力特性で $V_{DS}$ を変化させても $I_{DS}$ が変化しなくなる飽和領域の $V_{DS}$ ）の印加下で、ゲート電位 $V_{GS}$ によって $I_{DS}$ が制御される様子を示したのが図1(b)で、伝



\*Yoshio ASO

1953年1月生  
大阪大学大学院 理学研究科 有機化学  
専攻 博士課程中途退学（1981年）  
(理学博士・大阪大学・1983年)  
現在、大阪大学 産業科学研究所 教授  
理学博士 機能有機化学・構造有機化学  
TEL: 06-6879-8475  
FAX: 06-6879-8479  
E-mail: aso@sanken.osaka-u.ac.jp



\*\* Yutaka IE

1973年2月生  
大阪大学工学研究科分子化学専攻博士後  
期課程（2000年）  
現在、大阪大学 産業科学研究所  
准教授 博士（工学） 構造有機化学  
TEL: 06-6879-8476  
FAX: 06-6879-8479  
E-mail: yutakaie@sanken.osaka-u.ac.jp

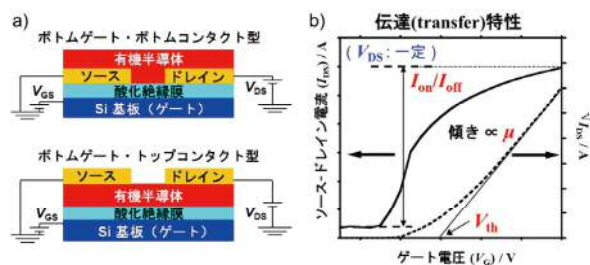


図1 有機電界効果トランジスタ（OFET）

達特性とよばれる。これからOFETの性能パラメータとして移動度( $\mu$ )、閾値電圧( $V_{th}$ )、オン/オフ比( $I_{on}/I_{off}$ )が得られる。高い移動度を得るためには、分子としての特性だけではなく、絶縁層の表面処理や半導体層の製膜プロセスの最適化によって、絶縁層界面で電荷移動に適した分子配列を実現することが重要である<sup>1)</sup>。

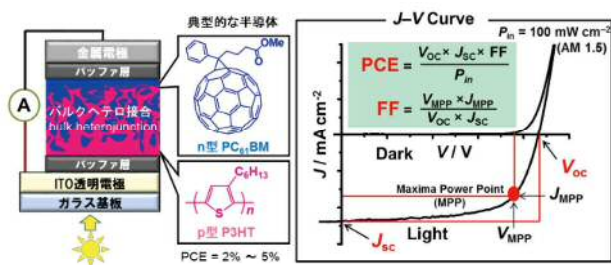


図2 有機光電変換素子（OPV、有機太陽電池）

一方、OPVは、有機半導体からなる活性層薄膜が仕事関数の異なる電極で挟まれた構造をしている（図2）<sup>2)</sup>。活性層にはp型およびn型となる二種の半導体を混合させて用いるバルクヘテロ接合が主流で、両半導体の接触面積を増やすことで励起子からの電荷分離の効率を高めている<sup>3)</sup>。この素子を光（擬似太陽光）照射した時の電圧ー電流特性から性能パラメータとして短絡電流密度( $J_{SC}$ )、開放端電圧( $V_{OC}$ )、曲線因子(FF)が得られ、それらからエネルギー変換効率(PCE)を求めることができる。半導体のHOMO、LUMOエネルギーレベルの調節によって、可視から近赤外成分が強い太陽光の有効利用、効率的な電荷分離、高い $V_{OC}$ の発現などが図られる<sup>4)</sup>。こうした分子レベルの物性制御にとどまらず、膜のモルフォロジー制御が重要であり、膜内で生成した電荷が効率良く電極まで輸送されるためには図に示したような伝導パスを形成する相分離構造が必要である。さらに、有機化合物は分子に局在したフランケル励起子を生成し、その拡散長がせいぜい数十nmに留まるため、そのサイズ程度の相分離構造であることが求められる<sup>5)</sup>。

本稿では、OFETとOPVについて、それぞれ最も鍵となる移動度 $\mu$ とエネルギー変換効率PCEに着目して話を進める。

## 2. n型OFET材料の開発

多くの $\pi$ 電子共役系化合物はp型半導体の性質を

示す。これに対して、安定にn型特性を示す共役系の開発は遅れている<sup>6)</sup>。これは、共役系のLUMO準位と電極フェルミ準位のミスマッチや、還元種（ラジカルアニオン）が酸化種（ラジカルカチオン）に比べて大気成分（水や酸素分子）に対して本質的に不安定なこと、さらに電子伝導が正孔伝導に比べて不純物トラップの影響を受けやすいことに起因している。従って、n型半導体材料の開発にはこれらの影響を受けにくい程度にLUMOが安定な（エネルギーが低い）共役化合物の創製が求められる。

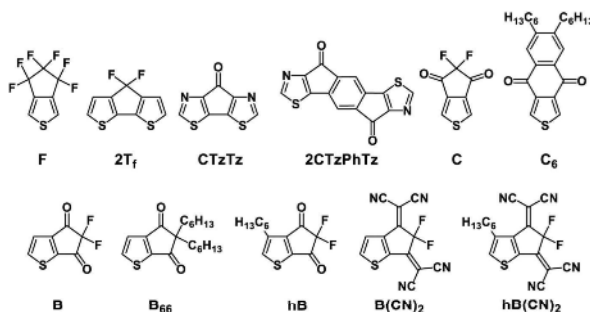


図3 開発した電子受容性ユニット

芳香族 $\pi$ 電子系に電子求引性基を導入することでLUMO準位を低下させることは良く知られている。しかし、こうしたユニットを連結して共役系を拡張させる際に、導入した置換基が立体障害となって平面性を低下させ有効な共役を阻害する場合が多い。我々はこれを回避する手段として、6員環に比べて連結に際して共役を有効に拡張できる5員環ヘテロ芳香族に電子求引性基を縮環や架橋構造として導入した種々の $\pi$ 電子系ユニットの開発を行っている（図3）。縮合多環系は、薄膜状態での分子間相互作用を誘起する観点からや電荷輸送における再配列エネルギーを小さくする観点からも好ましい。図3に示したユニットはいずれも共役系を拡張することでn型トランジスタ特性の発現に寄与した。まずは、制御された均質な分子配列が得やすい真空蒸着による成膜で、大気下でも安定駆動する素子を目指した研究について紹介する。

以前に我々は、トリフルオロアセチルフェニル末端基（FAc）がLUMOエネルギーの低下と規則的な $\pi$ スタック構造の形成に寄与することを見出している<sup>7)</sup>。この末端基と無置換チオフェン2量体中央ユニットを組み合わせたFAc-TTは、真空蒸着で結晶性の薄膜を形成し、FET素子は真空下で高い電

compounds	LUMO / eV	$\mu_e / \text{cm}^2 \text{ V}^{-1} \text{ s}^{-1}$	
		in a vacuum	in the air
<b>FAc-TT</b>	-2.80 <sup>a</sup>	0.08	none
<b>FAc-TzTz</b>	-3.17	0.002	none
<b>FAc-CTzTz</b>	-3.64	0.06	0.013
<b>FAc-2CTzPhTz</b>	-3.79	0.39	0.14

<sup>a</sup>calculated value

図4 真空蒸着系n型OFET材料

子移動度 ( $\mu_e = 0.08 \text{ cm}^2 \text{ V}^{-1} \text{ s}^{-1}$ ) を示す (図4)<sup>8</sup>。しかし、大気暴露でn型FET特性は完全に失われる。この大気下での特性消失は、中央ユニットとしてチオフェンより電子受容性のチアゾールを用いた**FAc-TzTz**でも同様であった<sup>9</sup>。**FAc-TzTz**のLUMO準位はサイクリックボルタノメトリー(CV)で観測された還元電位から-3.17eVと見積もられた。そこで、**TzTz**を強い電子求引性基であるカルボニルで架橋した**CTzTz**を開発した<sup>9</sup>。これを中央ユニットとする**FAc-CTzTz**はLUMOエネルギーが大幅に低下(-3.64 eV)し、真空蒸着で成膜したトップコンタクト型のFET素子は真空下で $\mu_e = 0.06 \text{ cm}^2 \text{ V}^{-1} \text{ s}^{-1}$ を示した。さらに期待通り、大気開放24時間後でも $0.013 \text{ cm}^2 \text{ V}^{-1} \text{ s}^{-1}$ の移動度を維持した。次いで、分子間のより強いπ相互作用を期待して縮環でπ共役系を拡張すると共に、さらなるLUMO準位の低下を目指して5環縮合ユニット**2CTzPhTz**を設計し、**FAc-2CTzPhTz**を合成した<sup>10</sup>。ボトムコンタクト型FET素子で、真空下で $0.39 \text{ cm}^2 \text{ V}^{-1} \text{ s}^{-1}$ の優れた $\mu_e$ を示し、同じボトムコンタクト条件下での**FAc-CTzTz**の $\mu_e$ ( $0.03 \text{ cm}^2 \text{ V}^{-1} \text{ s}^{-1}$ )より一桁向上した。さらに、大気下でも $0.14 \text{ cm}^2 \text{ V}^{-1} \text{ s}^{-1}$ の高い性能を保持した。これらのX線結晶構造解析結果から計算された隣接分子間のLUMOの重なり積分は**FAc-2CTzPhTz**の方が2倍以上大きく、その $\mu_e$ の向上に寄与している。

**FAc-TT**、**FAc-CTzTz**、**FAc-2CTzPhTz**はX線結晶構造解析で同様なπスタックリング構造を有し、薄膜のX線回折(XRD)測定から結晶構造を反映した薄膜を形成していることが分かったため、これら化合物

はOFET素子における大気成分の影響と分子物性の関係を調べるのに適していると考えられた。そこで、それについて、乾燥空気と含水窒素ガス中における移動度の低下を真空下のものと比較した<sup>10</sup>。その結果、**FAc-TT**は乾燥空気下で大きく移動度が低下し、含水窒素下で特性がほとんど失われた。**FAc-CTzTz**では含水窒素下で大きな移動度低下が観測され、**FAc-2CTzPhTz**はどちらの雰囲気下でも高い性能を維持した。これは、それぞれの材料のLUMO準位と既存データから見積もられた酸素(-3.55 eV)および水(-3.79 eV)の還元準位とよく相関している。これら材料で大気成分が膜内に浸透する度合いは同程度と予想されるので、n型OFETのキャリア移動においては酸素分子より水分子の影響が大きいことが示された。但し、いずれの素子も再度真空中に戻すことでの $\mu_e$ が元の値近くまで回復するので、酸素および水分子はチャンネル内で電子トラップとして働くが、半導体分子自体と不可逆な化学反応が起こっているのでは無いことがわかる。

こうした大気下での駆動安定性を示す材料を塗布プロセスに対応させようとする場合、有機溶媒への十分な溶解性を付与させるアルキル基の導入が必要となる。しかし、一般にアルキル基はπ電子系に対して電子供与基として働き、LUMOエネルギーを押し上げるので、より電子受容性の共役骨格が必要になる。そこで、**FAc**の分子配列制御能を維持しつつ、より電子不足な末端基として、**FAc**類似の部分構造を有するジオキソジフルオロシクロヘンテレン縮環チオフェン**B**を設計開発した。併せて、中央骨格として同じ縮環基を持つ**C**ユニットを合成した。これらを組み合わせた**B-C**は極めて深い-4.14 eVのLUMOレベルを有する(図5)<sup>11</sup>。しかし、溶解性付与のためにヘキシルチオフェン(**H**)を導入した**B-HCH**のLUMOは-3.54 eVに上昇した<sup>12</sup>。**B-HCH**は、クロロホルム溶液からのスピンドルで良好な成膜性を示し、真空下ではn型FET特性が得られたが、大気下でその特性は失われる。

そこで、ジオキソ環と可溶化アルキル基を併せ持つ電子受容性中央ユニットとして**C<sub>6</sub>**を設計合成した<sup>13</sup>。期待通り**B**を末端基とする**B-C<sub>6</sub>**のLUMOレベルは-3.81 eVと**B-C**には及ばないものの充分に深い値であった。スピンドル成膜した素子は大気下でもn型特性を維持し、その $\mu_e$ は、真空下よ

compounds	LUMO / eV	$\mu_e / \text{cm}^2 \text{ V}^{-1} \text{ s}^{-1}$	
		in a vacuum	in the air
<b>B-C</b>	-4.14	none	not tested
<b>B-HCH</b>	-3.54	$1.9 \times 10^{-4}$	none
<b>B-C<sub>6</sub></b>	-3.81	0.014	$5.3 \times 10^{-4}$
<b>hB-CTzTz</b>	-3.83	0.011	$1.6 \times 10^{-3}$
<b>B(CN)<sub>2</sub>-HH</b>	-4.13	$5.4 \times 10^{-4}$	$4.6 \times 10^{-4}$
<b>B(CN)<sub>2</sub>-F</b>	-4.15	$3.5 \times 10^{-3}$	$1.0 \times 10^{-3}$
<b>hB(CN)<sub>2</sub>-TT</b>	-4.18	$5.3 \times 10^{-3}$	$2.4 \times 10^{-3}$

図5 塗布系n型OFET材料

り二桁低下するものの良好な値であった。また、真空蒸着成膜で高い性能を示したCTzTz骨格を塗布系に活用するために、上記とは逆に末端**B**骨格へのアルキル基の導入を試み、**hB**の開発に成功した<sup>14)</sup>。これを用いた**hB-CTzTz**も大気下で $1.6 \times 10^{-3} \text{ cm}^2 \text{ V}^{-1} \text{ s}^{-1}$ の良好な $\mu_e$ を維持した。**B-C<sub>6</sub>**と**hB-CTzTz**において高い素子性能を得るためにには薄膜の熱アニールが必須であり、XRD測定において高い結晶性薄膜構造を示唆するピークが出現する。高い電子受容性、可溶性、分子配列制御性を兼ね備えたC<sub>6</sub>および**hB**ユニットは、様々な電子不足ユニットと組み合わせが可能と考えられるので、塗布成膜n型半導体の構造多様性に寄与するものである。

**B-C<sub>6</sub>**および**hB-CTzTz**の素子においては、真空中から大気下の移動度に未だ数桁の低下がみられる。大気下で安定にn型素子駆動を行うためには、LUMOレベルを-4.0 eV以下にすることが有効で

あると提案されている<sup>15)</sup>。そこで、末端**B**骨格の化学修飾でLUMOレベルをさらに低下させることを計画した(図5)。より強い電子求引性基として、カルボニル基からの官能基変換手法が確立されているジシアノメチレン基に着目し、**B(CN)<sub>2</sub>**の合成に成功した<sup>16)</sup>。可溶性の中央ユニットと組み合わせた**B(CN)<sub>2</sub>-HH**, **B(CN)<sub>2</sub>-F**のLUMOレベルは期待どおり-4 eVを下回り、対応する**B-HH**の-3.08 eVより1 eV以上も低下した。これを反映して、スピノコート薄膜の大気中での $\mu_e$ は、真空中での値からほとんど低下していなかった。**B(CN)<sub>2</sub>-F**の素子においては、大気下で10日間放置した後でも $10^{-3} \text{ cm}^2 \text{ V}^{-1} \text{ s}^{-1}$ レベルの $\mu_e$ が保たれることを確認している。薄膜のXRD測定において、**B(CN)<sub>2</sub>-F**からのみ弱いながらも明確なピークが観測されたことから、規則的な分子配列がその若干高い移動度に寄与したと思われる。しかし、逆にアモルファス性の高い薄膜でありながら大気下で良好な電子移動度が維持されたことは、**B(CN)<sub>2</sub>**末端ユニットの高い潜在能力を示している。**B(CN)<sub>2</sub>**に可溶化ヘキシル基を導入した**hB(CN)<sub>2</sub>**も**hB**から得ることができたので、中央ユニットに無置換ビチオフェンを用いた**hB(CN)<sub>2</sub>-TT**へと展開した<sup>17)</sup>。この化合物のLUMOレベルは-4.18 eVと見積もられたことから、**B(CN)<sub>2</sub>**あるいは**hB(CN)<sub>2</sub>**ユニットを用いることで中央骨格に左右されることなく-4 eVを下回る低LUMO材料の合成が可能と考えられる。OFET特性評価で、**hB(CN)<sub>2</sub>-TT**のスピノコート薄膜は真空中、大気下ともに $10^{-3} \text{ cm}^2 \text{ V}^{-1} \text{ s}^{-1}$ オーダーの $\mu_e$ を示し、**B(CN)<sub>2</sub>-HH**より一桁向上した。**hB(CN)<sub>2</sub>-TT**薄膜のXRD測定でやはり結晶性膜の形成が確認された。これらの結果から、精微な分子設計を施することで、さらなる性能の向上が可能になると期待される。

### 3. p型OPV材料の開発

OPVの半導体材料としてn型はもっぱら可溶性フラーイエン誘導体の[6,6]-phenyl-C<sub>x</sub>-butyric acid methyl ester(**PC<sub>x</sub>BM**: x = 61 or 71)が、p型は典型的に結晶性ポリマーのポリ(3-ヘキシルチオフェン)(**P3HT**)が用いられてきた(図2)。最近では、**P3HT**に代わる新たなp型半導体として、主鎖にアクセプターユニットを組み込んだドナーーアクセプター(D-A)型コポリマーが盛んに開発されて、最高のPCEは

10%程度まで向上している。これは、アクセプターユニットの導入でHOMO-LUMOギャップが狭くなり、これら間の分子内電荷移動型の光遷移に基づく幅広い長波長吸収が $J_{SC}$ の増大に寄与すること、および、HOMOレベルの低下によって、n型のLUMOレベルとのエネルギー差に相関している $V_{OC}$ の向上が期待できるためである。しかし、D-A型ポリマーに適用できる有効なアクセプターユニットは限られている。そこで、我々は、前述のn型OFET材料で開発した電子受容性ユニット群が活用できると期待して、新規D-A型コポリマーの開発へと展開した。本稿では、ドナーユニットを代表的なジチエノシロール(DTS)に限定して比較検討を記述する(図6)。

まず、強い電子受容性のCをアクセプターユニットとして、DTSおよび3-ドデシルチオフェン(D)とのD-A型コポリマーDTS-D-Cの合成を行い、数平均分子量( $M_n$ )15,900のポリマーを得た<sup>18)</sup>。Dユニットは、当初合成したDTS-Cポリマーの難溶性とそれに起因する分子量の不足( $M_n$ :6,100)を改善するために導入した。DTS-D-C薄膜の吸収端は900 nm近くまでおよび、オンセットから見積もったHOMO-LUMOエネルギーギャップは1.44 eVであった。また、CV測定の酸化および還元波のオンセット値から見積もったHOMOおよびLUMOレベルから、期待どおり高いD-A性を有していることが示された。OFET素子の評価で $3.5 \times 10^{-4} \text{ cm}^2 \text{ V}^{-1} \text{ s}^{-1}$ の正孔移動度( $\mu_h$ )を示し、OPVのp型材料として期待できるレベルであった。そこで、PC<sub>71</sub>BMをn型材料とした混合薄膜を用いたOPVを作製して評価したが、PCEは0.77%と低いものであった。外部量子収率(EQE)のアクションスペクトルは、PC<sub>71</sub>BM単独膜の吸収スペクトルに極めて類似しており、DTS-D-Cの光吸収の寄与はほとんど見られなかった。これは、PC<sub>71</sub>BMのLUMOレベル(-3.91 eV)<sup>19)</sup>が、DTS-D-CのLUMOレベルに近いため、DTS-D-Cの励起子からの効率的な電荷分離が妨げられたためと考えられた。p型とn型のLUMOのエネルギー差は0.3 eV程度は必要とされている<sup>20)</sup>。

この結果から、Cユニットの強すぎるアクセプター性と難容性を改善するために、フッ素原子をアルキル基に置換したC<sub>h</sub>およびC<sub>hy</sub>ユニットを設計し、

DTSおよびDTS-Tドナーユニットと組み合わせた4種のD-A型ポリマー(DTS-C<sub>h</sub>, DTS-C<sub>hy</sub>, DTS-T-C<sub>h</sub>, DTS-T-C<sub>hy</sub>)を開発した<sup>21)</sup>。アクセプターユニットにアルキル基を導入したことで、上記のDTS-D-Cと異なり、連結部に無置換チオフェン(T)を使用することができた。これらポリマーの物性測定から

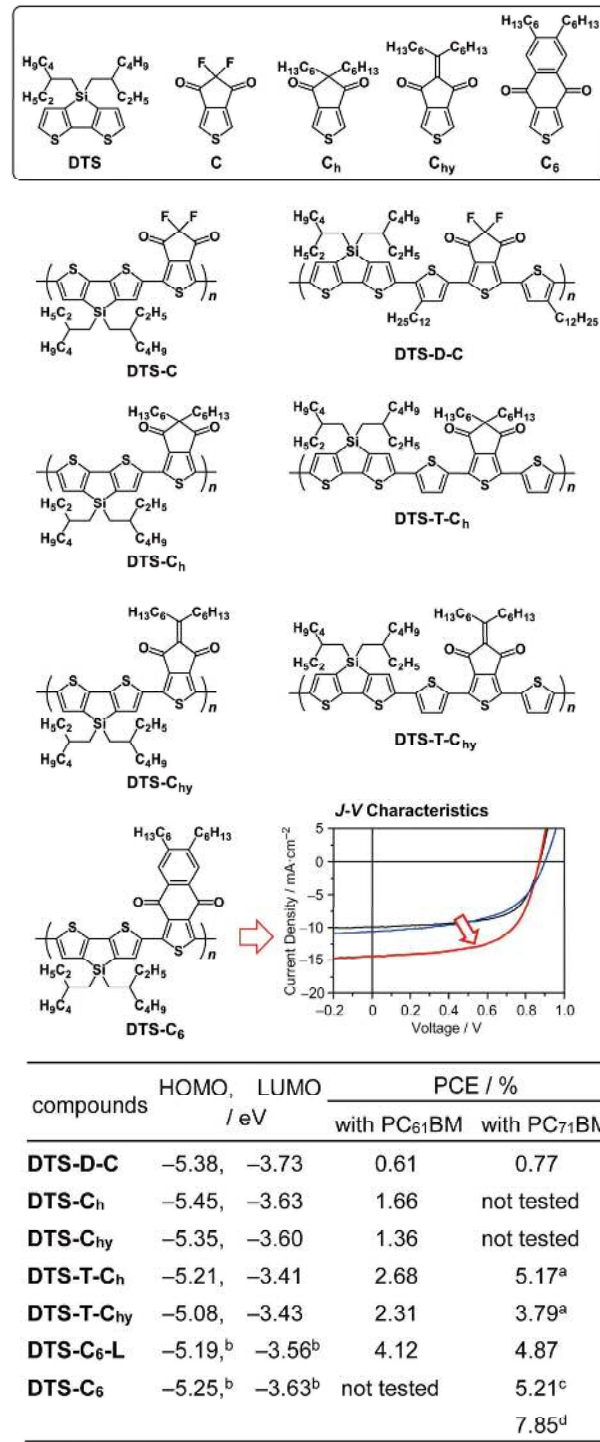


図6 D-A型コポリマーOPV材料

得られた結果をまとめると以下のようになる。溶液状態の吸収スペクトルは連結Tユニットを含まないポリマーの方が高いD-A性を反映して長波長に現れる。一方で、薄膜の吸収スペクトルはC<sub>hy</sub>ユニットからなるポリマーは顕著なブロード化と長波長化を示し、その効果はDTS-T-C<sub>hy</sub>の方が大きい。これは、C<sub>hy</sub>およびT-C<sub>hy</sub>ユニットの平面的な構造に由来する鎖間π相互作用を示唆している。結果的にC<sub>hy</sub>ユニットからなるポリマー薄膜の光学的HOMO-LUMOギャップ(1.56–1.57 eV)はC<sub>h</sub>ユニットからなるポリマー(1.68–1.73 eV)より小さくなる。CV測定から見積もられるLUMOエネルギーはいずれのポリマーも、期待どおり、良好なOPV特性が期待できる適正な範囲にある(図6)。これらのポリマーをPC<sub>61</sub>BMと組み合わせたOPV素子で、連結Tユニット有しないポリマーの1%台のPCEに対して、DTS-T-C<sub>h</sub>とDTS-T-C<sub>hy</sub>からは2%を超えるPCEが得られた。空間電荷制限電流(SCLC)測定から電荷輸送特性を評価したところ、DTS-C<sub>h</sub>とDTS-C<sub>hy</sub>のブレンド膜は10<sup>-5</sup> cm<sup>2</sup> V<sup>-1</sup> s<sup>-1</sup>台の正孔移動度を示すのみで、電子移動は観測されなかった。一方で、DTS-T-C<sub>h</sub>とDTS-T-C<sub>hy</sub>では共に10<sup>-5</sup> cm<sup>2</sup> V<sup>-1</sup> s<sup>-1</sup>台の正孔移動と電子移動が観測され、OPVに適した相分離の形成を示唆している。AFMによる表面観察から、DTS-C<sub>h</sub>、DTS-C<sub>hy</sub>のブレンド膜では平均ラフネス(Ra)が0.23, 0.55 nmと、DTS-T-C<sub>h</sub>、DTS-T-C<sub>hy</sub>の1.83, 1.51 nmに比べてかなり小さいことがわかった。これらのこととは、鎖間π相互作用が弱い前者のポリマーはPC<sub>61</sub>BMと混和してしまっていると考えられる。OPVのさらなる性能向上を目指して、DTS-T-C<sub>h</sub>とDTS-T-C<sub>hy</sub>についてPC<sub>71</sub>BMをn型とするブレンド薄膜を調整した。PC<sub>71</sub>BMはPC<sub>61</sub>BMより可視光域の吸収が強いので、J<sub>SC</sub>の増大に寄与することが知られており、実際に、これらの素子もPCEがそれぞれ2.84%と3.43%に向上した。さらに、PCBMのナノ相分離の促進に有効な場合が多いことが知られている1,8-diiodooctane(DIO)をプロセス溶媒に3%添加することでDTS-T-C<sub>h</sub>のPCEが5.17%まで大幅に向上した。薄膜表面のAFM観察から、DIO添加の前後でRaが1.90 nmから2.25 nmに増大し、期待した適正な相分離の促進が示唆された。

さらに、OPVに適用可能なアクセプターユニッ

トとして、C<sub>6</sub>に着目した<sup>22)</sup>。前述したOFET材料において、B-C<sub>6</sub>のLUMOレベルはB-Cより0.3 eV高くなってしまっており(図5)、C<sub>6</sub>ユニットの弱められた電子受容性を示している。また、π共役が三つの環に拡張したC<sub>6</sub>では、ポリマーにおける鎖間π相互作用の増進が期待できる。DTS-C<sub>6</sub>ポリマーの物性測定から、LUMOは期待どおり、DTS-D-Cより0.2 eV程度上昇してOPVのp型半導体として適正なレベルにある。DTS-C<sub>6</sub>ポリマーのスピンドコート薄膜のOFET素子で正孔輸送特性の評価を行った結果、1.4 × 10<sup>-4</sup> cm<sup>2</sup> V<sup>-1</sup> s<sup>-1</sup>の良好なp型特性を示した。DTS-C<sub>6</sub>/PC<sub>61</sub>BMのOPV素子で4.12%の極めて有望なPCEが得られた。PC<sub>71</sub>BMと組み合わせることでPCEは4.87%まで向上した。そこでさらに、DTS-C<sub>6</sub>/PC<sub>71</sub>BMのモルフォロジー制御による性能向上を期待して、DTS-C<sub>6</sub>の高分子量化に取り組んだ<sup>23)</sup>。ここまで検討してきたDTS-C<sub>6</sub>のM<sub>n</sub>は19,500(以後このポリマーをDTS-C<sub>6</sub>-Lと表記する)であったが、Stilleカップリングポリマー化の成分であるDTSのビス(トリメチル)スズ体を逆相液体クロマトグラフィーで注意深く精製して、C<sub>6</sub>のジプロモ体との当量を正確に合わせてポリマー化を行うことで、M<sub>n</sub>を42,800まで向上させることができた。このDTS-C<sub>6</sub>とPC<sub>71</sub>BMから調整したOPV素子で5.21%のPCEが得られた。このPCEの向上は、J<sub>SC</sub>とFFの向上によってもたらされているが、両者のポリマー物性や軌道エネルギーレベルに大きな変化ではなく、XRD測定ではどちらのブレンド膜もアモルファス性を示したことから、モルフォロジーの変化によると考えられる。実際に、ブレンド膜のSCLC正孔移動度はDTS-C<sub>6</sub>-L/PC<sub>71</sub>BMの3.4 × 10<sup>-5</sup>からDTS-C<sub>6</sub>/PC<sub>71</sub>BMの1.0 × 10<sup>-4</sup> cm<sup>2</sup> V<sup>-1</sup> s<sup>-1</sup>へと向上した。さらに、ブレンド薄膜のプロセス条件を最適化し、o-DCB/CHCl<sub>3</sub>(V/V)=4:1に3%DIOを添加した溶媒をスピンドコートに用いることでPCEを7.85%まで向上させることができた。これに伴い、両キャリアのSCLS移動度の向上、AFM観察におけるRaの増大(2.1から3.4 nm)、2D GIXD測定におけるDTS-C<sub>6</sub>の配向性の改善が観測された。

以上の結果は、我々が創出してきた新規アクセプターユニットがOPV(太陽電池)に向けたD-A型ポリマー材料においても有効に機能することを示す

ものである。また、分子設計によって適切に物性チューニングが行われた半導体材料において、真のパフォーマンスを引き出すには、プロセスを含めたデバイスの最適化が極めて重要であることもわかる。

## 参考文献

- 1) C. R. Newman, C. D. Frisbie, D. A. S. Filho, J.-L. Brédas, P. C. Ewbank, K. R. Mann, *Chem. Mater.*, **16**, 4436 (2004).
- 2) C. J. Brabec, N. S. Sariciftci, J. C. Hummelen, *Adv. Funct. Mater.*, **11**, 15 (2001); L. o Lu, T. Zheng, Q. Wu, A. M. Schneider, D. Zhao, L. Yu, *Chem. Rev.*, **115**, 12666 (2015).
- 3) C. J. Brabec, S. Gowrisanker, J. J. M. Halls, D. Laird, S. Jia, S. P. Williams, *Adv. Mater.*, **22**, 3839 (2010).
- 4) M. C. Scharber, D. Mühlbacher, M. Koppe, P. Denk, C. Waldauf, A. J. Heeger, C. J. Brabec, *Adv. Mater.*, **18**, 789 (2006); R. A. J. Janssen, J. Nelson, *Adv. Mater.*, **25**, 1847 (2013).
- 5) J. Peet, A. J. Heeger, G. C. Bazan, *Acc. Chem. Res.*, **42**, 1700 (2009); M. T. Dang, L. Hirsch, G. Wantz, J. D. Wuest, *Chem. Rev.*, **113**, 3734 (2013).
- 6) Y. Zhao, Y. Guo, Y. Liu, *Adv. Mater.*, **25**, 5372 (2013).
- 7) Y. Ie, M. Nitani, and Y. Aso, *Chem. Lett.*, **36**, 1326 (2007).
- 8) Y. Ie, M. Nitani, T. Uemura, Y. Tominari, J. Takeya, Y. Honsho, A. Saeki, S. Seki, Y. Aso, *J. Phys. Chem. C*, **113**, 17189 (2009).
- 9) Y. Ie, M. Nitani, M. Karakawa, H. Tada, Y. Aso, *Adv. Funct. Mater.*, **20**, 907 (2010).
- 10) Y. Ie, M. Ueta, M. Nitani, N. Tohnai, M. Miyata, H. Tada, Y. Aso, *Chem. Mater.*, **24**, 3285 (2012).
- 11) Y. Ie, Y. Umemoto, M. Okabe, T. Kusunoki, K.-i. Nakayama, Y.-J Pu, J. Kido, H. Tada, Y. Aso, *Org. Lett.*, **10**, 833 (2008).
- 12) Y. Ie, M. Okabe, Y. Umemoto, H. Tada, Y. Aso, *Chem. Lett.*, **38**, 460 (2009).
- 13) Y. Ie, M. Nitani, H. Tada, Y. Aso, *Org. Electron.*, **11**, 1740 (2010).
- 14) M. Nitani, Y. Ie, H. Tada, Y. Aso, *Chem. Asia. J.*, **6**, 2352 (2011).
- 15) D. M. de Leeuw, M. M. J. Simenon, A. R. Brown, R. E. F. Einerhand, *Synth. Met.*, **87**, 53 (1997); T. D. Anthopoulos, G. C. Anyfantis, G. C. Papavassiliou, D. M. de Leeuw, *Appl. Phys. Lett.*, **90**, 122105 (2007).
- 16) Y. Ie, K. Nishida, M. Karakawa, H. Tada, A. Asano, A. Saeki, S. Seki, Y. Aso, *Chem. Eur. J.*, **17**, 4750 (2011).
- 17) Y. Ie, K. Nishida, M. Karakawa, H. Tada, Y. Aso, *J. Org. Chem.*, **76**, 6604 (2011).
- 18) Y. Ie, J. Huang, Y. Uetani, M. Karakawa, Y. Aso, *Jap. J. Apply. Phys.*, **51** 10NC08-1 (2012).
- 19) Y. He, G. Zhao, B. Peng, Y. Li: *Adv. Funct. Mater.*, **20**, 3383 (2010).
- 20) J.-L. Brédas, D. Beljonne, V. Coropceanu, J. Cornil: *Chem. Rev.*, **104**, 4971 (2004).
- 21) J. Huang, Y. Ie, M. Karakawa, Y. Aso, *J. Mater. Chem. A*, **1**, 15000 (2013).
- 22) Y. Ie, J. Huang, Y. Uetani, M. Karakawa, Y. Aso, *Macromolecules*, **45**, 4564 (2012).
- 23) J. Huang, Y. Ie, M. Karakawa, M. Saito, I. Osaka, Y. Aso, *Chem. Mater.*, **26**, 6971 (2014).